

Chapter VIII. 理想费米系统

§1. 理想费米气体的热力学性质.

根据 Chapter VI 中计算得到的巨配分函数 $\Omega(z, V, T) = \prod_{\epsilon} (1 + ze^{-\beta\epsilon})$ (for fermions)

可以得到 $\frac{PV}{kT} = \ln \Omega = \sum_{\epsilon} \ln(1 + ze^{-\beta\epsilon})$

可以看出, 相较于 Bosons 下的 $1 - ze^{-\beta\epsilon}$, $z = e^{\alpha} = e^{\beta\mu}$ 不作 μ 的取值

在费米气体中都不会出现在单个态上占据数 $\rightarrow \infty$ 的情况. (理想气体), 因此有 $z \in (0, +\infty)$

若用积分代替求和, 那么有, $\lambda = \frac{h}{\sqrt{2\pi m kT}}$, $f_{\nu}(z) = \frac{1}{\Gamma(\nu)} \int_0^{\infty} \frac{x^{\nu-1} dx}{z^{-1}e^x + 1} = \sum_{n=1}^{\infty} (-1)^{n+1} \frac{z^n}{n^{\nu}}$ 称为 F-D 函数

$\frac{P}{kT} = \frac{g}{\lambda^3} f_{5/2}(z), \quad \frac{N}{V} = \frac{g}{\lambda^3} f_{3/2}(z)$

其中 g 为内部结构(如自旋)权重因子

可以根据 z 来计算一系列其他的热力学函数. (以 z, V, T 为变量)

$$U = -\left(\frac{\partial \ln \Omega}{\partial \beta}\right)_{z, V} = \frac{3}{2} (\ln \Omega) / \beta = \frac{3}{2} PV = \frac{3}{2} kNT \frac{f_{5/2}(z)}{f_{3/2}(z)}$$

$$-ze^{-z} + 1 - e^{-z} = \xi$$

同时 $C_V = \left(\frac{\partial U}{\partial T}\right)_{V, N} = \left(\frac{\partial U}{\partial T}\right)_{V, z} + \left(\frac{\partial U}{\partial z}\right)_{V, T} \left(\frac{\partial z}{\partial T}\right)_{V, N} = \left(\frac{\partial U}{\partial T}\right)_{V, z} - \left(\frac{\partial U}{\partial z}\right)_{V, T} \frac{(\partial N / \partial T)_{V, z}}{(\partial N / \partial z)_{V, T}}$

$$U = \frac{3}{2} PV = \frac{3}{2} gV \frac{kT}{\lambda^3} f_{5/2}(z), \quad \left(\frac{\partial U}{\partial T}\right)_{V, z} = \frac{5}{2T} U, \quad \left(\frac{\partial U}{\partial z}\right)_{V, T} = \frac{3}{2} gV \frac{kT}{\lambda^3} \frac{1}{z} f_{3/2}(z)$$

$$\left(\frac{\partial N}{\partial T}\right)_{V, z} = \frac{3}{2T} N, \quad \left(\frac{\partial N}{\partial z}\right)_{V, T} = \frac{N}{f_{3/2}(z)} \times \frac{1}{z} f_{1/2}(z), \quad \text{代入得 } C_V = kN \times \left[\frac{15}{4} \frac{f_{5/2}(z)}{f_{3/2}(z)} - \frac{9}{4} \frac{f_{3/2}(z)}{f_{1/2}(z)} \right]$$

$$A = \mu N - PV = kNT \left[\ln z - \frac{f_{5/2}(z)}{f_{3/2}(z)} \right], \quad S = \frac{U - A}{T} = kN \left[\frac{5}{2} \frac{f_{5/2}(z)}{f_{3/2}(z)} - \ln z \right]$$

为了由 $n = \frac{N}{V}$ 与 T 来确定费米气体的一些性质, 需要物 z 用 n, T 表示 ($n = \frac{g}{\lambda^3} f_{3/2}(z)$)

虽然物 z 的曲线可以数值给出, 以下不开究一些极限情形

① 非简并, $n\lambda^3 \ll 1$ (高温稀薄).

此时 $f_{3/2}(z) = \frac{n\lambda^3}{g} \ll 1$, 所有 $z \ll 1$. $f_{\nu}(z) \approx z$. ($\mu \rightarrow -\infty$, 从占据数也可以看出确为经典)

代入以上式子, 如 $P = nkT$, $U = \frac{3}{2} NkT$, $A = kNT \left[\ln \frac{n\lambda^3}{g} - 1 \right]$, $S = kN \left[\frac{5}{2} - \ln \frac{n\lambda^3}{g} \right]$, $C_V = \frac{3}{2} kN$

均退化为经典理想气体的标准结果

② $n\lambda^3 < 1$. 可以将其看作小量. 应用位力展开 ($\frac{n\lambda^3}{g} \sim f_{3/2}(z) \approx z < 1$)

利用 $n = \frac{g}{\lambda^3} f_{3/2}(z)$, 求得一个逆位力级数, 进而代入 $\frac{P}{kT} = \frac{g}{\lambda^3} f_{5/2}(z)$ 来得到

$$\frac{PV}{kNT} = \sum_{l=1}^{\infty} (-1)^{l+1} a_l \left(\frac{\lambda^3}{g}\right)^{l-1}, \quad a_l \text{ 为位力系数. } v = \frac{1}{n} \text{ 与 Boson 情况不同在于其正负交替.}$$

根据 $C_V = \left(\frac{\partial U}{\partial T}\right)_{N, V}$, $U = \frac{3}{2} PV \Rightarrow C_V = \frac{3}{2} kN \frac{\partial \left(\frac{PV}{kN}\right)_{N, V}}{\partial T} = \frac{3}{2} kN \sum_{l=1}^{\infty} (-1)^{l+1} \frac{5-3l}{2} a_l \left(\frac{\lambda^3}{g}\right)^{l-1}$

③ 若 $n\lambda^3 \gg 1$ (导致位力展开不收敛)

此时需用级数计算.

④ $n\lambda^3 \gg 1$ (简并性) 与 $n\lambda^3 = \infty$ (完全简并性)

先考虑完全简并, 它对应一般让 $T=0$ 来达到 $n\lambda^3 = \infty$. 并设 $\mu(T=0) = \mu_0$.

此时 $\langle n_\epsilon \rangle = \frac{1}{e^{\beta(\epsilon - \mu)} + 1} = \begin{cases} 1 & (\epsilon < \mu_0) \\ 0 & (\epsilon > \mu_0) \end{cases}$ $\lim_{\mu \rightarrow \infty} \mu(T) = \mu_0$

再由 $N = \sum_{\epsilon < \epsilon_F} \langle n_\epsilon \rangle = V \int_0^{\epsilon_F} a(\epsilon) d\epsilon$ 来引入费米能 ϵ_F . $\Rightarrow N = \frac{4\pi g V}{3h^3} \mu^3$. $\epsilon_F = \left(\frac{6\pi^2 n}{g}\right)^{2/3} \frac{\hbar^2}{2m}$ (Non S-R)

基态 $E_0 = \frac{\pi^2 g V}{5mh^3} \mu^5$, $\frac{E_0}{N} = \bar{\epsilon} = \frac{3}{5} \epsilon_F$. 由此 $P = \frac{2}{3} \frac{U}{V} = \frac{2}{5} n \epsilon_F \propto n^{5/3}$ ($T=0$)

在考虑热容, 输运性质时, 有必要将考虑区间推广至 $T \neq 0$. 那样虽然此时 $\epsilon \neq \mu$, 但也很大.

因此可以考虑用 $f_{1/2}(z)$ 的渐近展开式来近似. 将直接函数 $f_{3/2}, f_{5/2}, f_{7/2}$ 展开有

$f_{5/2}(z) = \frac{8}{15\pi^{1/2}} (\ln z)^{5/2} [1 + \frac{5\pi^2}{8} (\ln z)^{-2} + \dots]$, $f_{3/2}(z) = \frac{4}{3\pi^{1/2}} (\ln z)^{3/2} [1 + \frac{\pi^2}{8} (\ln z)^{-2} + \dots]$, $f_{1/2}(z) = \frac{2}{\pi^{1/2}} (\ln z)^{1/2} [1 - \frac{\pi^2}{24} (\ln z)^{-2} + \dots]$

$\Rightarrow \frac{N}{V} = \frac{4\pi g}{3} \left(\frac{2m}{\hbar^2}\right)^{3/2} (kT \ln z)^{3/2} [1 + \frac{\pi^2}{8} (\ln z)^{-2} + \dots]$, 近似 $\ln z = \mu \Rightarrow \lim_{T \rightarrow 0} \mu = \lim_{z \rightarrow \infty} \mu = \epsilon_F$.

$\frac{U}{N} = \frac{3}{5} kT \frac{f_{5/2}(z)}{f_{3/2}(z)} = \frac{3}{5} (kT \ln z) [1 + \frac{\pi^2}{8} (\ln z)^{-2} + \dots]$ 在一级近似下有 $\mu \approx \epsilon_F [1 - \frac{\pi^2}{12} (\frac{kT}{\epsilon_F})^2]$, 同有 $\frac{U}{N} \approx \frac{3}{5} \epsilon_F [1 + \frac{5\pi^2}{12} (\frac{kT}{\epsilon_F})^2]$

$P = \frac{2}{3} \frac{U}{V} = \frac{2}{5} n \epsilon_F [1 + \frac{5\pi^2}{12} (\frac{kT}{\epsilon_F})^2 + \dots]$, $\frac{C_V}{kN} = \frac{\pi^2}{2} \frac{kT}{\epsilon_F} + \dots$, 一级线性为主要部分

$\frac{A}{kN} = \mu - \frac{PV}{N} = \frac{3}{5} \epsilon_F [1 - \frac{5\pi^2}{12} (\frac{kT}{\epsilon_F})^2 + \dots]$, $\frac{S}{kN} = \frac{\pi^2}{2} \frac{kT}{\epsilon_F} + \dots$ ($T > 0, S > 0$, Nernst 条件)

§2. 理想费米气体的磁性质. [Att: 这里均是非区域量子性质, 与原子中电子磁性质关系不大]

研究一个有外磁场 \vec{B} 的无相互作用的费米子气体的平衡状态.

在 Chapter III §9 中曾研究类似问题. 但那时的粒子是全同且区域的 (可分辨), 并考虑取向自由度量子化

以区为经典与量子, 并得到均为顺磁, 且在 $\beta \rightarrow 0$ 时均有等温磁化率 $\propto \frac{1}{T}$ (弱场近似). 反磁化和

对 Fermi 气体, 尤其在低温下会有很不同的结果. 例如 $T=0$ 下不存在磁化率. χ_T 与密度相关.

与 T 无关的微弱顺磁性称为 Pauli 顺磁性; 由于外场中轨道角动量量子化引起的抗磁性称为 Landau 抗磁性

a. Pauli 顺磁性.

当存在 \vec{B} 时, $\epsilon = \frac{p^2}{2m} - \vec{\mu}^* \cdot \vec{B}$. $\vec{\mu}^*$ 为粒子的内禀自旋磁矩.

不妨以电子, 取自旋 $\frac{1}{2}$, 那么 仅有二能级 (不同自旋),

$\epsilon_+ = \frac{p^2}{2m} - \mu^* B$, $\epsilon_- = \frac{p^2}{2m} + \mu^* B$ (\pm 代表与 \vec{B} 同向/反向)

根据 $T=0$ 时, $\epsilon < \epsilon_F$ 的能级被填满, 再根据定域的能级公式有

$N_+ = \frac{4\pi V}{3h^3} [2m(\epsilon_F + \mu^* B)]^{3/2}$, $N_- = \frac{4\pi V}{3h^3} [2m(\epsilon_F - \mu^* B)]^{3/2}$ 由此 Pauli 顺磁性.

$M = \mu^* (N_+ - N_-)$, $T=0$ 的弱场磁化率为 $\chi_0 = \lim_{B \rightarrow 0} \frac{M}{VB} = \frac{4\pi (\mu^*)^2 (2m)^{3/2} \epsilon_F^{1/2}}{h^3}$ (与 T 无关)

利用 $g=2$ 时, 在 $B \rightarrow 0$ 时, $N = \frac{8\pi V}{3h^3} \times (2m)^{3/2} (\epsilon_F)^{3/2} \Rightarrow \chi_0 = \frac{3}{2} n (\mu^*)^2 / \epsilon_F$.

$\left. \begin{matrix} \chi_0 \\ \chi_{00} \end{matrix} \right\} \propto \frac{kT}{\epsilon_F}$

对比 3.9 节中 $g=2$ ($J=\frac{1}{2}$) 给出的高温结果 (量子情形) $\Rightarrow \chi_{00} = n (\mu^*)^2 / kT$

实际上, 寻求所有 T 均成立的 χ 表达式

对于某分布 $\{n_\vec{p}^+\}, \{n_\vec{p}^-\}$, 其中取向可取 0, 1 有 $E_n = \sum_{\vec{p}} \frac{p^2}{2m} (n_\vec{p}^+ + n_\vec{p}^-) - \mu^* B (N^+ - N^-)$, N^\pm 为总态, 有 $N_+ + N_- = N$

$Q_N(\beta) = \sum' e^{-\beta E_n}$, 求和对所有 $\{n_\vec{p}^+\}$ 与 $\{n_\vec{p}^-\}$, 满足 $N_+ + N_- = N$ 的进行

求和可以分步进行, 先固定 N^+ (同时 N^-), 得到

$$Q_N(\beta) = \sum_{N^+=0}^N \left[e^{\beta \mu^* B (2N^+ - N)} \left(\sum_{\{n_i^+\}} \exp(-\beta \sum_{i=1}^N \frac{p_i^2}{2m}) \right) \left(\sum_{\{n_i^-\}} \exp(-\beta \sum_{i=1}^N \frac{p_i^2}{2m}) \right) \right], \Sigma'' \text{ 为对满足 } \Sigma n_i^\pm = N^\pm \text{ 的分子进行}$$

引入 $Q_0(N)$ 表示无自旋, 质量为 m 的 N 个粒子的理想 Fermi 气体配分函数, $Q_0(N) = e^{-\beta A_0(N)}$

$$\Rightarrow Q_N(\beta) = \sum_{N^+=0}^N e^{\beta \mu^* B (2N^+ - N)} Q_0(N^+) Q_0(N - N^+)$$

对该项求对数, 并用求和中最大项的对数替代求和的对数 即 $\sum_N S(N^+)$, $\frac{\partial S}{\partial N^+} = 0$.

$$\ln Q_N(\beta) = -\beta \mu^* B N + \ln \left[\sum_{N^+=0}^N e^{2\beta \mu^* B N^+} Q_0(N^+) Q_0(N - N^+) \right]$$

最大判据为 $2\mu^* B - \left(\frac{\partial A_0}{\partial N}\right)_{N=N^+} + \left(\frac{\partial A_0}{\partial N}\right)_{N=N-N^+} = 0$ or $\mu_0(N^+) - \mu_0(N-N^+) = 2\mu^* B$. (类平衡条件*)

引入无量纲参数 $r = \frac{N^+ - N^-}{N}$, 恒量正则化程度, $r \in [0, 1]$, 平衡条件为 $\mu_0\left(\frac{r+1}{2}N\right) - \mu_0\left(\frac{1-r}{2}N\right) = 2\mu^* B$

在 $B=0$ 时, 有 $r=0$, 因此 r 随 B 增大而增大, r 也增大. 因此作 Taylor Expansion 并保留第一阶 $r \approx \frac{2\mu^* B}{N \left(\frac{\partial \mu_0}{\partial N}\right)_{N=\frac{1}{2}N}}$

$$\text{最终有 } \chi = \frac{\mu^*(N^+ - N^-)}{B V} = \frac{\mu^* r N}{B V} = \frac{2(\mu^*)^2}{V \left(\frac{\partial \mu_0}{\partial N}\right)_{N=\frac{1}{2}N}} = \frac{2(\mu^*)^2 r}{2\chi \mu_0(\frac{1}{2}N)|_{\chi=1/2}}, \text{ 此式适用于所有 T 下的弱场磁化率}$$

因为无自旋的理想 Fermions Gas 的 μ_0 已在 §1 中研究过.

(i) $T \rightarrow 0$. 此时取 $g=1$ (无自旋) $\mu_0(N) = (E_F)_0 = \frac{\hbar^2}{2m} (6\pi^2 \frac{N}{V})^{2/3}$, $\frac{\partial \mu_0(N)}{\partial N} \Big|_{\chi=1/2} = (6\pi^2 n)^{2/3} \frac{2^{1/3} \hbar^2}{3m} = \frac{2^{1/3}}{3} (E_F)_0 = \frac{4}{3} E_F$

代入得 $\chi_0 = \frac{3N(\mu^*)^2}{2E_F}$, 与 $T=0$ 时的分布直接得到结果一致.

(ii) $T \geq 0$ 此时 $\mu_0(N) = (E_F)_0 \left[1 - \frac{\pi^2}{12} \left(\frac{kT}{E_F}\right)^2 \right]$, $\frac{\partial \mu_0(N)}{\partial N} \Big|_{\chi=1/2} = \frac{4}{3} E_F \left[1 + \frac{\pi^2}{12} \left(\frac{kT}{E_F}\right)^2 2^{-4/3} \right]$

代入得 $\chi = \chi_0 \left[1 - \frac{\pi^2}{12} 2^{-4/3} \left(\frac{kT}{E_F}\right)^2 + \dots \right]$

(iii) $T \rightarrow \infty$ 此时取 $g=1$, $n\lambda^3 = f_{3/2}(z) \approx z \Rightarrow \mu_0(N) = kT \ln \frac{N\lambda^3}{V}$, $\frac{\partial \mu_0(N)}{\partial N} \Big|_{\chi=1/2} = 2kT$

代入得 $\chi_{\infty} = \frac{N(\mu^*)^2}{kT}$, 确实退化为高温弱场下非全同粒子的极限.

(iv) $T \gg 1$ 此时取 $f_{3/2}(z) = z - z^2/2^{3/2}$ 的一阶近似, $\Rightarrow \chi \approx \chi_{\infty} \left(1 - \frac{n\lambda^3}{2^{3/2}} \right)$, 仍正比于 $T^{-3/2}$.

β . Landau 抗磁性质.

源于垂直于 B 平面内轨道运动的量子化, $B \uparrow$ 时, 系统的总能量上升, 表现抗磁性.

例如取 B 沿 z 轴, 则在 z 方向近似自由, 在 (x, y) 平面上的能级完全量子化

$$E_j = \hbar \omega_c \left(j + \frac{1}{2} \right) + \frac{p_z^2}{2m}, \quad \omega_c = \frac{Bq}{m}, \quad \text{对于全空间, 每个能级的简并度均为无穷}$$

在 $E_j \sim E_{j+1}$ 间的态数为 (不考虑 z 自由度) $\frac{1}{(2\pi)^2/S} \times \frac{\hbar \omega_c}{\hbar^2 k} m \times (2\pi k) = \frac{m \omega_c}{2\pi \hbar} S$

即每个态上的能级数为 $\frac{Bq}{2\pi \hbar} S$, 近似与 j 无关

以下推此分布巨配分函数, $\ln \Omega = \sum_{\epsilon} \ln(1 + ze^{-\beta \epsilon})$

$$\Rightarrow \ln \Omega = \int_{-\infty}^{+\infty} \frac{L_z d\epsilon}{h} \left[\sum_{j=0}^{\infty} \ln(1 + ze^{-\beta [\frac{p_z^2}{2m} + \hbar \omega_c (j + \frac{1}{2})]}) \right] \times \frac{Bq}{2\pi \hbar} S$$

在高温下, $z \ll 1$, 因此可以简化为 $\ln \Omega = \frac{Bq V z}{h^2} \left(\int_{-\infty}^{+\infty} dp_z e^{-\beta p_z^2/2m} \right) \sum_{j=0}^{\infty} e^{-\hbar \omega_c (j + \frac{1}{2})}$

$$\text{即 } \ln \Omega(z, V, T) = \frac{Bq V z}{h^2} \sqrt{\frac{2m\pi}{\beta}} \left[2 \sinh\left(\frac{\beta Bq \hbar}{2m}\right) \right]^{-1}$$

其中 $N = (\sum \frac{\partial \ln \Omega}{\partial \epsilon})_{V,T} = \frac{2V}{\lambda^3} \frac{\chi}{\sinh \chi}$, $\chi = \frac{\beta B \hbar^2}{2m} = \beta B \mu_B$. $\mu_B = \frac{e\hbar}{2m}$ 为玻尔磁子

一般 $E = -\frac{\partial \ln \Omega}{\partial \beta}$. 但由于此处仅有 $\chi y + \ln z$, 即 $\ln w_c \times (y + \frac{1}{z})$ 与 χy 相近, 因此对 B 偏导

$M = \frac{1}{\beta} (\frac{\partial \ln \Omega}{\partial B})_{\beta, V, T} = \frac{2V}{\lambda^3} \mu_B [\frac{1}{\sinh \chi} - \frac{\chi \cosh \chi}{\sinh^2 \chi}] = -N \mu_B L(\chi)$, L 为朗之万函数, $L(\chi) = \coth \chi - \frac{1}{\chi}$

可以看出这与朗之万磁化率相似, 但分子分母反了. ($M = N \mu_B L(\chi)$, $\chi = \mu_B B$)

(1) $\mu_B B \ll kT$. 此时有 $N \approx \frac{2V}{\lambda^3}$, $M \approx -\frac{N \mu_B (\mu_B)^2}{3kT}$, $\Rightarrow \chi_{00} = \frac{M}{B} \approx -\frac{n (\mu_B)^2}{3kT}$

合并 Pauli 磁性 (or 即磁化率) 与 Landau 抗磁性

对电子有 $\chi_{00} = \frac{n(\mu_B^2 - \frac{1}{3}\mu_B'^2)}{kT}$, $\mu_B' = \frac{e\hbar}{2m'}$, m' 为有效质量

若在全部温度下, 但仍做 B 很弱, 有 $\mu_B B \ll kT$.

此时积分中已非远大于 1, 不可直接求, 那用 Euler 求和公式改求和. 近似 $\sum_{j=0}^{\infty} f(j+\frac{1}{2}) \approx \int_0^{\infty} f(x) dx + \frac{1}{2} f'(0)$

$\Rightarrow \ln \Omega = \frac{V \mu_B B}{h^2} [\int_0^{\infty} dx \int_0^{\infty} dp_z \ln \{1 + z \exp[-\beta(\mu_B B \chi + p_z^2/2m)]\} - \frac{1}{2} \beta \mu_B B \int_0^{\infty} \frac{dp_z}{z^{-1} \exp[\beta p_z^2/2m] - 1}]$

第一部分与 B 无关 ($\chi \rightarrow B \chi$). 第二部分化为 $-\frac{\pi V (2m)^{3/2}}{6h^3} (\mu_B B)^2 \beta^{1/2} f_{1/2}(z)$

$\chi = \frac{M}{B} = \frac{1}{V \mu_B} (\frac{\partial \ln \Omega}{\partial B})_{V, T} = -\frac{(2\pi m)^{3/2} \mu_B^2}{3h^3 \beta^{1/2}} f_{1/2}(z)$, 仍为抗磁性结果

(1) $z \ll 1$ $f_{1/2}(z)$ 与 z 以 $n\lambda^3$. 那近似化为 z 的结果

(2) $z \gg 1$. 那用 $f_{1/2}(z)$ 与 \sqrt{z} 的渐近表达式 (例如 $T \ll 1 \Rightarrow \chi_{00} \approx -\frac{1}{2} n \mu_B^2 / kT$, 恰为 Pauli 磁性的三倍 $z = e^{\mu_B B / kT}$)

§3. 金属中的电子气

Drude \rightarrow Sommerfeld \rightarrow Bloch (在 Sommerfeld 引入新统计后, 才逐步完善)

α. 热电子发射 (Richardson effect)

可将电子近似为一种由表面势的禁锢于金属内部的气体.

势垒子以等效为 $-e$ 阶势, 并近似为一个不随 T 变化的常数 W .

且在发射流不大时, 可近似为金属内电子气处于平衡态.

由此热发射问题类化于泻流问题, 不过将 p_z 在 $(0, +\infty)$ 故 $\beta \rightarrow (\sqrt{2mW}, +\infty)$ 上积分.

(当然, 这不能保证逸出, 故有一个等效的反射系数 r , 真实为 $1-r$ 倍)

单位时间从单位表面逸出的电子数为 $R = \int_{\sqrt{2mW}}^{\infty} dp_z \int_{-\infty}^{\infty} dp_x \int_{-\infty}^{\infty} dp_y \frac{2}{h^3} v_z f_{FD}(\frac{p^2}{2m} - \mu)$

先就对 p_x, p_y 积分出来 $R = \frac{4\pi m kT}{h^3} \int_{\epsilon_z = W}^{\infty} d\epsilon_z \ln[1 + e^{(\mu - \epsilon_z)/kT}]$

对于实际金属的 T , $\epsilon_z - \mu > W - \mu \gg kT$. 因此可简化为 ($\epsilon_z - \mu \sim \epsilon_F \gg kT$, 近似为 Fermions Gas, $z = e^{\mu/kT} \gg 1$)

$R = \frac{4\pi m (kT)^2}{h^3} e^{(\mu - W)/kT}$, 热电流密度即为 $J = eR = \frac{4\pi m e (kT)^2}{h^3} e^{(\mu - W)/kT}$

1° 对于经典情况, $T \gg T_F$ (弱简并), 有 $z \approx n\lambda^3/g \Rightarrow J_{classical} = ne \sqrt{\frac{k}{2\pi m}} T^{1/2} e^{-W/kT}$

2° 对于高温简并, $T \ll T_F$ 有 $\mu \approx \epsilon_F$, kT 无关 $J_{FD} = \frac{4\pi m e}{h^3} (kT)^2 e^{(\epsilon_F - W)/kT}$, 也记 $\phi = W - \epsilon_F$ 为功函数

总之两个子均有指数型的主要贡献, 但指数不同, 一般画出 $\ln(J/T^2)$ 与 δ 的关系曲线,

对经典, 斜率为 W , 而对 FD, 斜率为 $W - E_F$

(i) 由于 W 可以通过一些其他方法测得 (例如电子束在金属上的反射, $n = (\frac{E+W}{E})^{1/2}$)

得到的结果很好地符合了费米的一些结果. (例如对钨, $W = 3.5 eV$, $E_F = 9 eV$, 斜率为 $4.5 eV$, 很正确, 也验证 $\phi \gg kT$ 与高温的合理性)

(ii) 并且在绝对温度低时, FD 结果也与实际接近

Extra: 肖特基效应.

在 $10^6 V/cm$ 下, 更大会出现热发射 (即电场足够大改变势垒高度) \rightarrow 热发射

若在金属表面加一个使电子逸出的中等电场, 那么势垒高度为 $\Delta(x) = W - eEx - \frac{e^2}{4x}$

最大处在 $x = \sqrt{e/4E}$ 处, 即 $\Delta_{max} = W - e^{3/2} E^{1/2}$. 由此, 热电子流为 $e^{(E_F - W + e^{3/2} E^{1/2})/kT}$

该值与肖特基效应, 也与实际接近 (实际上, 这个值与 FD 差别不大)

β . 光电发射 (Hallwachs effect)

这时, 存在紫外光来照, (肖特基 + 外电场) 这里是入射光子,

假为单色, 频率为 ν , 此时已故为 $(W - h\nu, +u)$, 假设单光子过程主导

此时 μ 子能级在 $[W - h\nu, +u)$ 区间内, 因此同样的近似元用于 $\int_{W-h\nu}^{+\infty} \ln[1 + e^{(u-E)/kT}] dE$

因此引入截止频率 $h\nu_0 = W - \mu \stackrel{\text{高反}}{\approx} W - E_F = \phi$, 作替换 $x = (E - W + h\nu)/kT$

$$\Rightarrow R = \frac{4\pi m (kT)^2}{h^3} \int_0^{\infty} dx \ln[1 + \exp\{\frac{h\nu - \phi}{kT} - x\}] , J = \frac{4\pi m e (kT)^2}{h^3} \int_0^{\infty} dx \ln[1 + e^{s-x}] , s = h\nu - \phi_0 / kT$$

$$\text{利用 } \int_0^{\infty} \frac{x^{n+1} dx}{e^x + 1} \Rightarrow J = \frac{4\pi m e (kT)^2}{h^3} f_2(e^s)$$

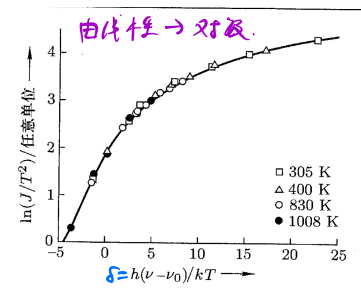
(i) $h\nu - \phi_0 \gg kT$, 即 $e^s \gg 1$ 时. 利用 f_2 的渐近展开有 $f_2(x) \approx \frac{1}{2} (\ln x)^2$, 代入得 $J = \frac{2\pi m e (\nu - \nu_0)^2}{h^3}$, ST 无关

(ii) $h\nu - \phi_0 \ll kT$ 即 $e^s \ll 1$ 时. 此时 $f_2(x) \approx x$ 代入得 $J = \frac{4\pi m e (kT)^2}{h^3} e^{h\nu - \phi_0 / kT}$

恰为 FD 的热电子发射, 附加单光子能量 $h\nu$.

在 $\nu = \nu_0$ 时, $f_2(1) = \frac{\pi^2}{12}$ 代入得 $J_0 = \frac{\pi^3 m e k^2}{3h^3} T^2$. 与上述吻合很好

($\ln(J/T^2) - \delta$ 关系图也称为福勒标绘图) \rightarrow



§4. 超冷原子费米气体.

利用与 Bosons 相同的微扰方法与玻色气体, 且使费米气体也展解至 nk .

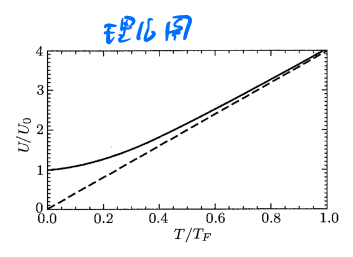
$$a(E) = \frac{E^2}{2\pi\hbar\omega_0^3} \quad (\text{能态密度, 各向异性的晶格, } \omega_0 = \sqrt{c_{11}c_{33}}) \Rightarrow N(\mu, T) = \frac{1}{2(\hbar c \omega_0)^3} \int_0^{\infty} \frac{E^2 dE}{e^{E-\mu}/kT + 1}$$

再由 $\int_0^{E_F} a(E) dE = N \Rightarrow E_F = (6N)^{1/3} \hbar\omega_0$. 可以得 E_F 由 (μ, T) 的表达式

对 $100 Hz$ 的晶格 ω_0 有 10^6 个原子, $T_F \approx 870 nK$, $U_0 = \frac{3}{4} N E_F$.

在 T 和时, 理论值为 $U/U_0 = 4(\frac{T}{T_F})^4 \approx f_4(\frac{1}{2})$, $\mu(T)$ 可由 $3(\frac{T}{T_F})^3 f_3(\frac{1}{2}) = 1$ 解出

右面画出 U/U_0 随 T/T_F 的变化. 经典为 $U(T) = 3NkT$



但实际上, 在一定的条件下, 吸引相互作用导致 BEC-BCS 凝聚

§5. 白矮星的统计平衡性质

将白矮星近似为完全简并的相对论电子气; 并且有压强与星体引力压相消. 给出白矮星 $R-M$ 关系

§6. 原子的统计模型.

将电子在核外分布看做电子云, 各处有 $n(r)$, 并假设局域完全简并.

则 r 处各处的最高能为 $E_F(r) - e\phi(r) = \text{const.}$ (E_F 由 n 决定), 保证稳态.

并且假设球对称, 在边界处, $n(r) = 0$. 用 n 表达取值的 $\phi(r) = 0$, 则有 $E_F(r) - e\phi(r) = 0$

再用 $\nabla^2 \phi(r) = -en(r)/\epsilon_0$ 取适当的 $\phi(r)$ 微分方程

辅助 $n \rightarrow 0$ 的 $\phi(r) \rightarrow -\frac{Ze}{4\pi\epsilon_0 r}$, $r = r_0$ 处 $\phi(r) = 0$ (实际上取 $r_0 \rightarrow \infty$)

由此解得 $n(r)$, 呈递减, 但为很好近似且对大核, 更为准确. 电子数很长 $\ll n(r)$ 尺寸.